

## ОБ УСЛОВИЯХ ОСАДКОНАКОПЛЕНИЯ В ПОСЛЕДОНСКИХ НЕОПЛЕЙСТОЦЕНОВЫХ ОЗЕРАХ

Г.В. Холмовой, Г.А. Анциферова, Б.В. Глушков

Воронежский государственный университет

В пределах распространения Донского ледникового языка, непосредственно после его таяния, в депрессиях выпахивания и вымывания возник ряд озерных бассейнов, продолжающих формироваться в мучкапское и окское время. В таких озерах накапливались терригенные, карбонатные и кремнистые осадки. В статье приведены причины и условия образования вышеуказанных отложений.

В пределах Восточно-Европейской равнины в четвертичном периоде вследствие неоднократных изменений климата происходило чередование материковых оледенений и межледниковых. Воздействие ледниковых процессов на последующую межледниковую эпоху проявлялось опосредованно. Из всех озерных эпох, закономерно следующих за ледниками, древнейшей и достаточно выразительно представленной в ископаемом состоянии на Восточно-Европейской равнине является мучкапская (беловежская) межледниковая эпоха. Озерный комплекс осадков по впервые описанному разрезу скважины 450 у с. Польное Лапино известен также как польнолапинский или тамбовский [1-5]. В пределах центральных районов наиболее полными являются разрезы, вскрытые скважинами в пределах территории распространения Донского ледникового языка.

Формирование озерных бассейнов было предопределено гляциодинамикой ледникового языка. Ложбины ледникового выпахивания и вымывания встречаются по всей территории Донского языка, но, как правило, они тяготеют к линиям межсекторального раздела и внутренним краевым зонам. В стадию дегляциации происходило заложение крупных котловин, выполненных озерными осадками. Ложбины стадии наступления ледника выполнены отложениями серой морены [6,7].

В течение мучкапского межледникового установлено две термостадии и разделяющая их криостадия, соответствующие глазовскому и конаковскому климатическим оптимумам и подруднянскому похолоданию. Приводимые нами материалы характеризуют в основном более ранний глазовский оптимум, обычно представленный во всех разрезах. Характерными признаками глазовского оптимума в средних широтах являются доминирование в составе широколиственных лесов дуба и вяза, черноземо-видный тип почвы на водораздельных пространствах, карбонатное и кремнистое осадконакопление в озерах, сравнительно высокое залегание аллювия в составе 4-й надпойменной террасы. К настоящему времени палинологически изучено около двадцати разрезов, в двух из них обнаружена позднетирапольская фауна мелких млекопитающих, получены термолюминесцентные ( $430\pm60$  и  $485\pm90$  тыс. лет) и палеомагнитные (эпизод Бива-3, 390 тыс. лет) опре-

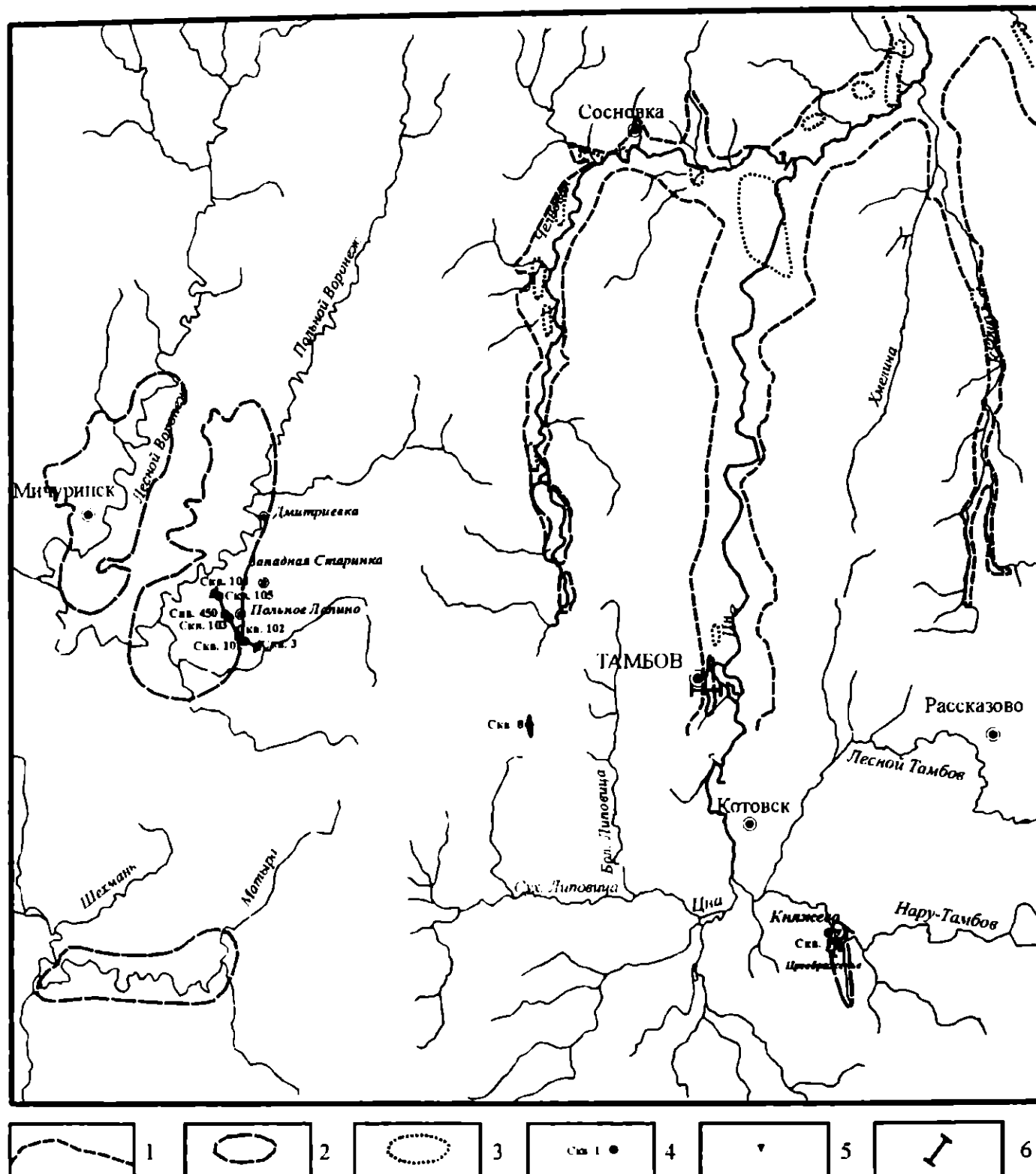
деления, указывающие на вероятную принадлежность оптимума к 11-й стадии кислородно-изотопной шкалы [8]. Наиболее полно при этом изучен разрез скважины 105 у д. Польное Лапино с использованием комплекса методов, в том числе литологические исследования озерной толщи.

Польнолапинское ископаемое озеро расположено к востоку от г. Мичуринска Тамбовской области, в долинах рек Лесной и Польной Воронеж, которые при слиянии образуют р. Воронеж. Оно представлено двумя сближенными озерными котловинами, имеющими субмеридиональную ориентировку и размеры соответственно  $10\times30$  км и  $12\times40$  км, глубину до 50 м и минимальный уровень подошвы около +91 м (рис. 1, 2). Геологический профиль, показывающий строение толщи озерных отложений, расположен в юго-восточной части основной озерной котловины. В бассейне рек Цны-Челновой располагается цепь погребенных озер, показанных на рис. 1, в том числе известный разрез озерных мергелей у с. Преображенье [9].

В некоторых ложбинах вымывания отмечается сугубо песчаный тип осадков, имеющий, вероятно флювногляциально-озерное или аллювиально-озерное происхождение (см. рис. 1, ложбины вымывания). Эти разрезы отличаются от разрезов ильинского аллювия, в поле которых они встречаются, более глубоким уровнем подошвы (примерно на 10 м) и наличием гальки и мелких валунов дальнеприносных пород (шокшинские песчаники и граниты) в основании. Формирование таких разрезов, вероятно, началось в конце донского времени, а продолжалось в мучкапское время.

В отложениях озерного комплекса выделяется четыре типа осадков: 1 - терригенный (песчано-глинистый), 2 - углеродистый (торф, сапропель), 3 - карбонатный (озерный мергель, гажа), 4 - кремнистый (диатомит, диатомитовый мергель).

Первый из них – пески, алевриты и глины – является преобладающим типом озерных отложений. Он особенно характерен для начальной и финальной частей разреза, для фаций проток, дельт и прибрежных зон. Терригенные отложения слагают от половины до всего разреза целиком и характеризуются различным строением, составляя до семи проциклитов мощностью от 3 до 12 м, высоким содержанием алевритовой примеси, особенно в двух



**Рис. 1. Местоположение разреза Польное Лапино, реконструкция ильинской гидросети и положения ложбин ледникового вымывания и выпахивания в бассейне рек Цны-Челновой:** 1 - контуры бортов ильинской палеодолины; 2 - ложбины ледникового выпахивания позднее заполненные озерными осадками (глины, мергели, диатомиты); 3 - эрозионные ложбины, заполненные флювиогляциальными и аллювиально-озерными осадками (пески, алевриты, суглинки); 4 - местоположение и № скважины; 5 - местоположение разреза Преображене; 6 - линии геологических разрезов.

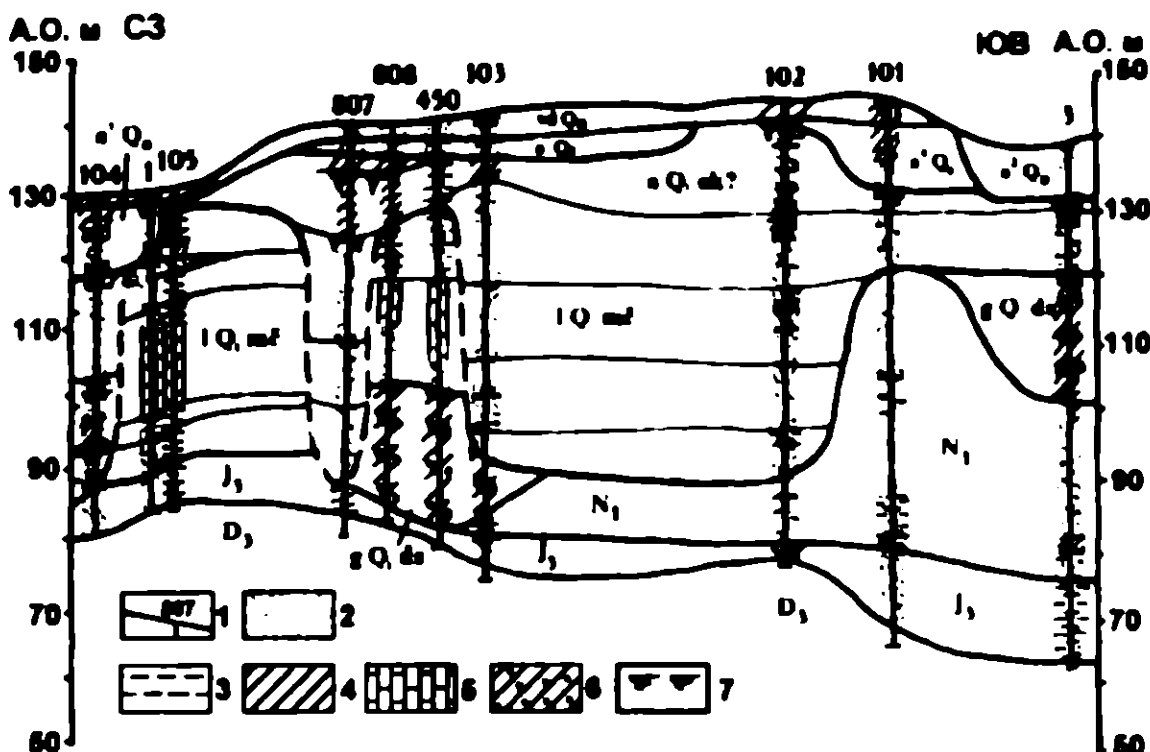
нижних ритмах, низкой выветрелостью минерального состава, преобладанием гидрослюд и монтмориллонита в составе глин.

Углеродистый тип осадков – торф, сапропель – крайне слабо представлен в польнолапинском озernом комплексе, присутствует главным образом в виде включений и прослоев незначительной мощности, хотя очень характерен для современных озер, отражая постоптимальную стадию и конец атлантического периода.

Карбонатный тип осадков – мергель, гажа – отвечает состоянию наибольшей глубоководности

озер, охватывает климатический оптимум, а также предшествующую и последующую фазы сосново-березовых лесов, что более подробно будет рассмотрено ниже.

Кремнистое биогенное осадконакопление – диатомит, диатомитовый мергель – в общих чертах совпадает с карбонатным. Но максимальные содержания  $\text{SiO}_2$  (до 30%) приурочены к фазам, непосредственно предшествующим и завершающим климатический оптимум, которые отражаются на спорово-пыльцевых диаграммах сосново-березовой растительностью с примесью широколиственных, а



**Рис. 2. Геологический разрез через послеледниковый озерный комплекс у д. Польное Лапино: 1 - морстоположение и № скважины на разрезе, 2 - пески, 3 - глины, 4 - суалиты, 5 - мерзели, 6 - моренные суалиты, 7 - ископаемые почвы.**

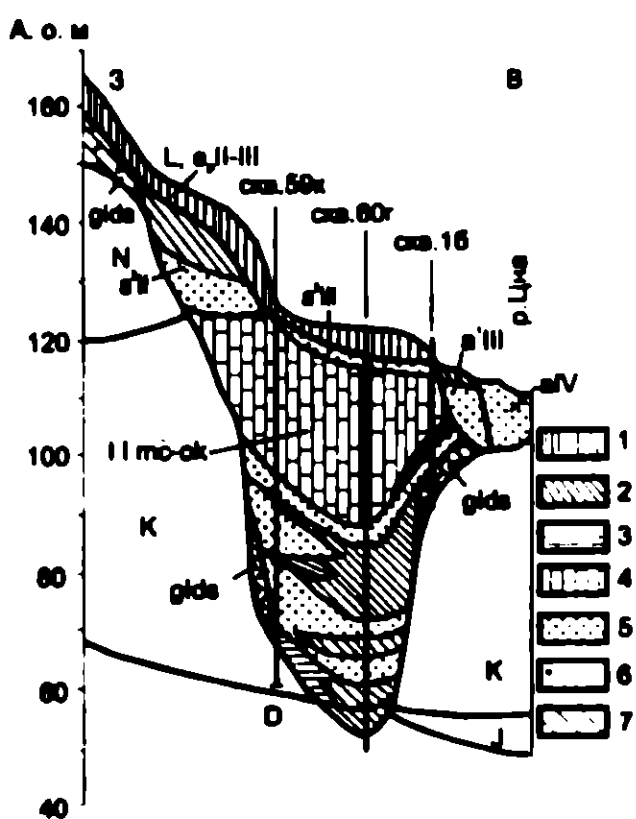


Рис. 3. Геологический разрез поперек озерной котловины у г. Тамбова (по М.И. Маудиной и А.В. Еремину, 1982): 1 - покровные суглинки, 2 - суглинки в озерном комплексе, 3 - алевиты, 4 - диатомиты, 5 - пласти, 6 - грязи и залыхи, 7 - моренные суглинки

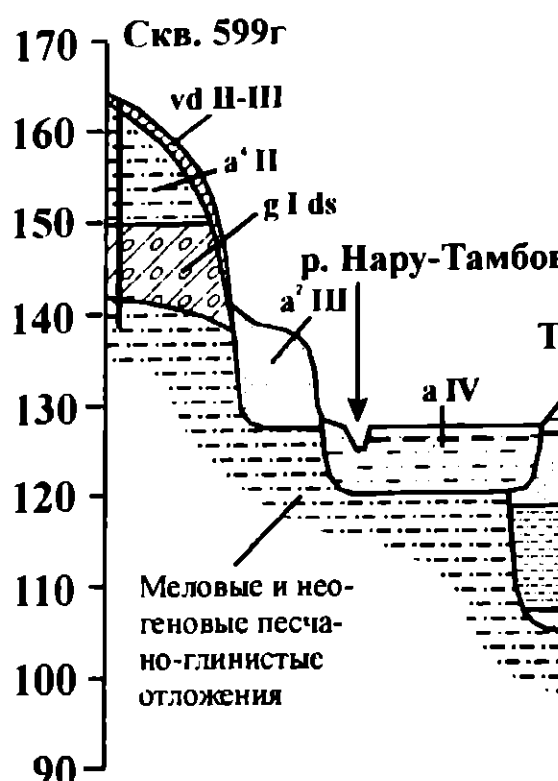
на диатомовой диаграмме -- олиготрофным, олиготрофно-метатрофным и метатрофным этапами развития озера.

Разрез скважины 105 у с. Польное Лапино, как наиболее детально изученный [10,11], мы принимаем в качестве опорного для исследования условий карбонатного и кремнистого осадконакопления. С ним можно сопоставлять разрезы других изученных скважин [2,3,9,12-16].

Карбонатная толща в комплексе озерных отложений у с. Польное Лапино представлена единым геологическим телом. В наиболее глубокой части озерной котловины его мощность составляет до 16 м. Наблюдаются резкие фаунистические или эрозионные границы и узкие эрозионные врезы, выполненные песком. Продолжается близость уровней подошвы и кровли с колебанием не более 2-3 м в пределах одного Польнолапинского озера. В то же время в соседних озерах те же гипсометрические уровни карбонатной толщи, как и всего озерного комплекса, отличаются на 10-20 м, что подтверждает представление о разобщенности озерных бассейнов.

Как уже указывалось, климатические условия являются определяющим фактором карбонатоакопления, так как оно совершалось в довольно широком диапазоне смены ландшафтов и температур. Начало осаждения карбонатов во всех разрезах довольно точно совпадает с наступлением фазы сосново-березовых лесов, включает весь климатический оптимум с господством широколиственных пород и завершается в последующую фазу сосново-березовых лесов. При этом характерно, что карбонатоакопление прекращается в разных бассейнах не одновременно. В разрезах отложений средней глубины Польное Лапино, скважины 450, 105 у с. Польное Лапино, скважина 229 у с. Западная Старинка) — в конце глаговского климатического оптимума или в его середине (скважина 118 у д. Лосино), а в глубоком Тамбовском озере (скважина 59-я, рис. 3, [2]) оно продолжалось в течение всего мучкапского межледникового, включая конаковский оптимум [16]. Показательно, что в небольших по площади и щелководных водоемах, отложения которых вскрыты скважинами у сел Вырубово, Верхне-Спасское и ряде других, карбонатные осадконакопление

Абс. отм. м



Абс. отм. м

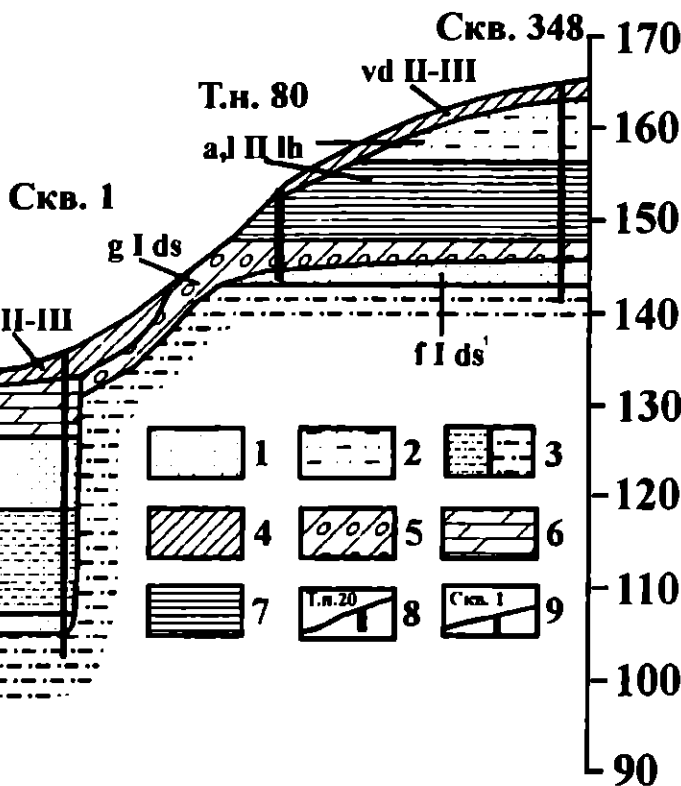


Рис. 4. Схема строения четвертичных отложений в районе с. Преображене на р. Нару-Тамбов: 1 - песок; 2 - песок глинистый; 3 - песок с прослойями глин; 4 - суглинок лессовидный; 5 - суглинок валунный (морена); 6 - мергель; 7 - глина; 8 - местоположение и номер точки наблюдения; 9 - местоположение и номер скважины.

Таблица 1

Химический состав озерных мергелей по скв. 105 у с. Польное Лапино

№ п.п.	№ пробы	Глубина, м	SiO <sub>2</sub>	TiO <sub>2</sub>	Al <sub>2</sub> O <sub>3</sub>	Fe <sub>2</sub> O <sub>3</sub>	FeO	MnO	MgO	CaO	Na <sub>2</sub> O	K <sub>2</sub> O	п.п.п.	P <sub>2</sub> O <sub>5</sub>	$\Sigma$	H <sub>2</sub> O	SO <sub>3</sub>
1	68	16,80	28,36	0,61	4,91	2,16	5,62	0,12	1,61	19,42	0,35	0,70	34,79	0,68	99,27	3,88	4,77
2	72	17,70	25,48	0,58	5,24	2,06	3,60	0,09	1,93	23,69	0,40	0,60	34,97	0,57	99,21	3,57	4,82
3	76	18,50	16,92	0,38	3,70	1,10	1,30	0,11	2,25	33,72	0,40	0,60	38,38	0,39	99,25	2,14	3,57
4	80	19,30	18,60	0,44	3,87	1,11	1,73	0,11	2,71	32,12	0,60	0,70	36,92	0,55	99,47	2,45	5,25
5	84	20,10	27,98	0,44	3,42	1,22	1,29	0,12	2,25	33,77	0,40	0,60	37,35	0,50	99,29	2,23	4,20
6	89	21,20	14,42	0,38	2,56	1,36	1,19	0,12	1,93	36,66	0,35	0,50	39,36	0,55	99,34	2,00	3,66
7	90	21,40	13,42	0,42	2,46	1,43	1,01	0,14	2,58	37,59	0,35	0,40	38,81	0,66	99,27	1,74	3,74
8	94	22,20	13,94	0,32	2,71	0,63	1,15	0,12	2,56	37,59	0,40	0,50	38,96	0,41	99,31	1,78	3,43
9	99	23,20	15,06	0,34	2,07	1,03	1,11	0,11	2,90	37,82	0,35	0,40	38,03	0,50	99,78	1,76	3,08
10	104	24,20	24,14	0,56	3,59	1,04	1,15	0,09	3,38	30,30	0,60	0,70	33,39	0,45	99,39	1,93	3,33
11	113	26,00	18,16	0,42	2,02	0,75	1,05	0,11	3,70	36,00	0,30	0,20	36,54	0,43	99,67	1,75	2,71
12	118	27,00	28,56	0,44	2,83	1,03	0,94	0,11	1,77	30,08	0,40	0,60	32,17	0,50	99,43	2,33	2,72
13	123	28,00	28,90	0,50	3,63	1,28	0,86	0,10	2,09	27,80	0,50	0,80	32,25	0,55	99,26	2,22	2,94
14	128	29,00	31,34	0,50	3,84	1,28	0,86	0,10	1,93	27,57	0,40	0,80	30,13	0,55	99,30	2,16	2,76
15	133	30,00	24,74	0,45	2,72	1,00	1,11	0,13	3,54	31,44	0,40	0,40	32,74	0,50	99,07	1,84	3,01
16	138	31,00	18,70	0,28	1,48	1,01	0,67	0,15	2,74	37,36	0,40	0,30	35,79	0,50	99,46	1,68	2,65
17	143	32,00	28,94	0,40	2,65	0,79	1,01	0,15	2,58	30,76	0,40	0,60	31,62	0,32	100,20	1,98	3,18
18	146	32,70	28,22	0,44	3,66	1,48	1,11	0,11	2,90	29,16	0,45	0,80	31,13	0,43	99,89	3,30	3,19

не наблюдалось, происходило накопление глин и песков.

На фоне наблюдаемой общей ритмичности озерных отложений, карбонатная толща слагает третий мезоритм мощностью до 16 м, построенный симметрично [7]. Ему предшествуют два мезоритма, особенно четко выраженные в скважине 1 у с. Преображене (рис. 4), мощностью 6 и 3 м, представленных чередованием песков и глинисто-алевритовых пород с гумусированием в основании глин. Перекрывающий четвертый мезоритм, мощностью 6 м, сложен двукратным чередованием алевритов и

глин, с гумусированием в кровле. По данным гранулометрического анализа разреза скважины 105, наиболее высокая примесь алевритового материала, как результат лессообразования на территории окружающей суши, характерен для первых этапов озерного осадконакопления.

Химический состав карбонатной толщи является ее важной характеристикой. Содержание CaCO<sub>3</sub> варьирует в пределах 65-70%, что можно видеть из таблицы и диаграмм (табл. 1, рис. 5, 6). Карбонатная толща отличается однородностью и чистотой химического состава в сравнении с перекрывающими и

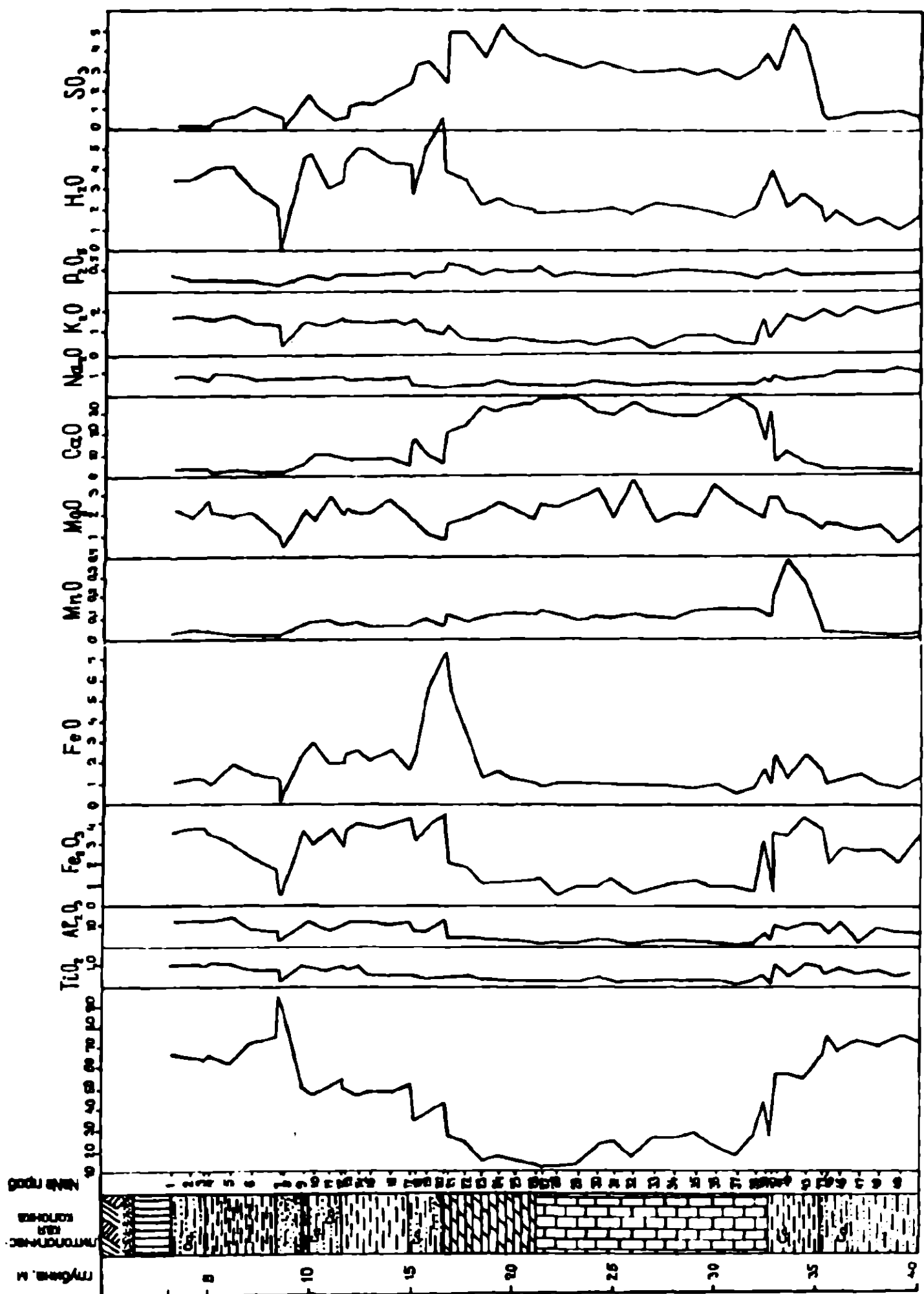


Рис. 5. Диаграммы концентрации элементов отложений от 0 до 105 лет в скв. 105 у с. Платное. Йошкар-Ола

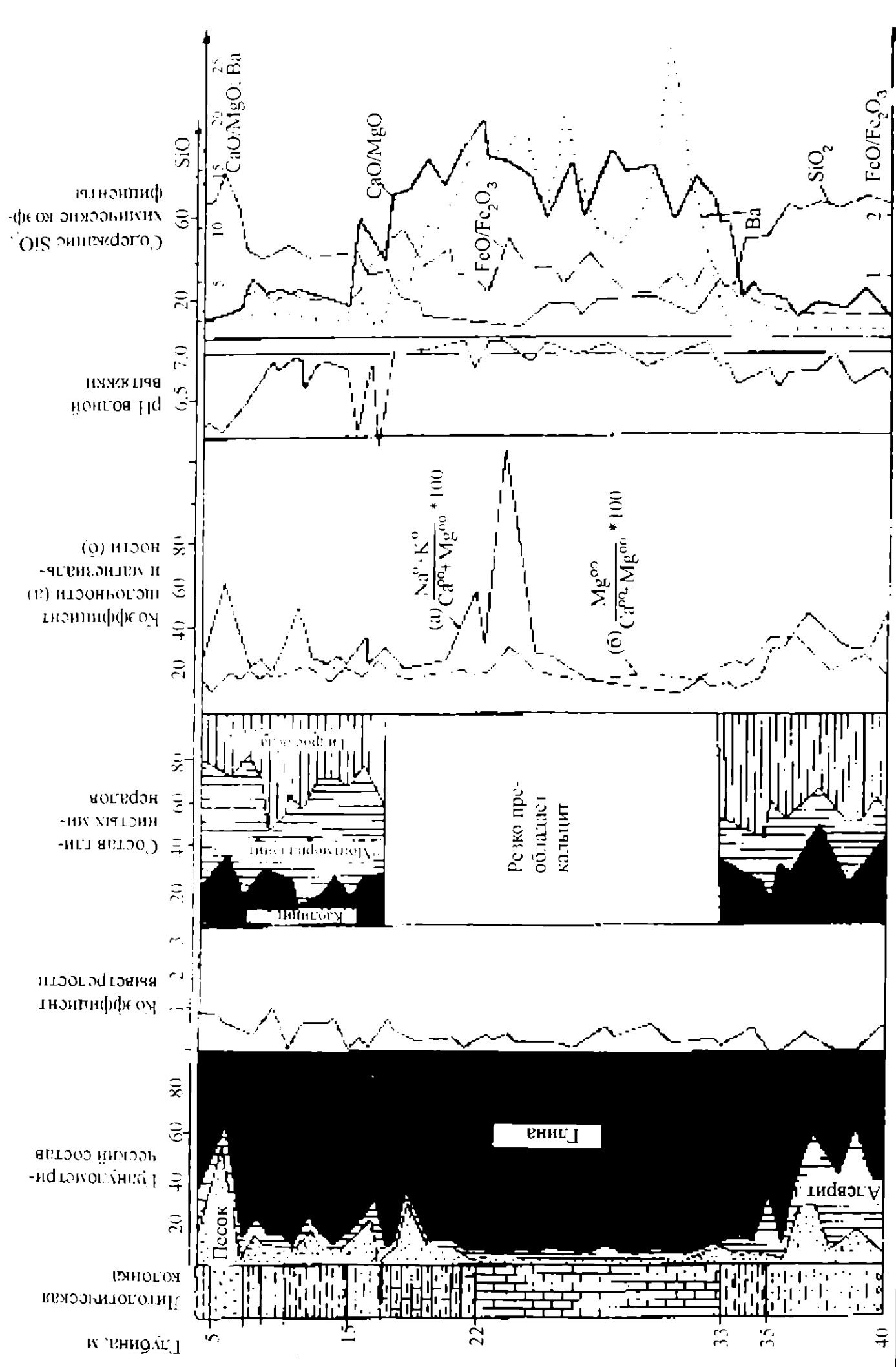


Рис. 6. Диаграмма гидротермических характеристик послелитниковых отложений по склону 105 в д. Попытое Лаптино.

Таблица 2

**Результаты химического анализа озерных мергелей из шурфа 20-IV у с. Преображене  
(содержание в % на высушенное при 110 град. вещество)**

№ п/п	Интервал опробования, м (снизу-вверх)	SiO <sub>2</sub>	TiO <sub>2</sub>	Al <sub>2</sub> O <sub>3</sub>	Fe <sub>2</sub> O <sub>3</sub>	FeO	MnO	CaO	MgO	P <sub>2</sub> O <sub>5</sub>	ппп	H <sub>2</sub> O	SO <sub>3</sub>
1	0-2,5	21,80	0,22	4,38	2,38	0,28	0,07	36,73	0,90	0,23	31,47	1,59	0,13
2	2,5-5,0	10,62	0,03	1,69	1,55	0,14	0,07	44,30	1,50	0,07	38,19	0,99	0,16
3	5,0-7,5	33,66	0,41	7,54	3,91	0,22	0,005	24,68	1,80	0,11	22,50	2,79	0,09

подстилающими алеврито-глинистыми отложениями. Приконтактная зона с подстилающими отложениями отчетливо выделяется повышенными значениями содержания железа, особенно закисного, а также марганца и серы. В комплексах поглощенных и воднорастворимых катионов наблюдается резко повышенное содержание калия, а также коэффициента щелочности ( $\text{Na} + \text{K} / \text{Ca} + \text{Mg}$ ) и емкости поглощенного комплекса в первой половине климатического оптимума (интервал 20-24 м). Значение кислотно-щелочного потенциала (рН) водной вытяжки изменяются от 6,8 до 7,3 и в среднем несколько выше 7, то есть характеризуют среду как слабо щелочную. Близкий химический состав имеют озерные мергели из другого водоема у с. Преображене на р. Нару-Тамбов (табл. 2).

Содержание SiO<sub>2</sub> в таблицах и на диаграммах отражает суммарную величину биогенного аморфного и терригенного кристаллического кремнезема, хотя в интервале глубин 16,7-32,7 м (карбонатная толща), судя по микроскопическим исследованиям шлифов и диатомовых препаратов, преобладает именно аморфный кремнезем (рис. 7). Не вызывает вопросов источник поступления в озеро кремнезема, самого распространенного химического соединения в природе, как и карбоната кальция. Геологогеоморфологические условия территории способствовали широкому поступлению поверхностных вод в замкнутые бассейны. В умеренно-гумидном климате межледниковых подобная гидрологическая обстановка и достаточное количество атмосферных осадков при процессах выветривания и почвообразования благоприятствовали интенсивному выщелачиванию осадочного покрова, сопровождающему выносом растворимых веществ. Эти процессы способствовали накоплению силикатов глинизема и кремнезема и формировали гидрокарбонатно-кальциевый состав грунтовых вод, обогащенных биогенными веществами. В водоемах кремнезем распространяется в молекулярно-дисперсной форме и в виде кремниевой кислоты в коллоидном состоянии. Например, экспериментальные исследования Ю.П. Казанского и др. показали, что одна часть аморфного глинизема способна осадить на своей поверхности до 14 частей кремнезема [17]. Исследования Ю.П. Хрусталева, посвященные происхождению и практическому применению кремнистых пород показали что диатомовыми водорослями кремнезем поглощается не только из раствора, но и из взвеси, в основном из глинистых минералов [18]. В условиях межледниковых повышенное содержа-

ние соединений кремния в озерах способствовало образованию аутигенного кремнезема, имеющего органическое происхождение. В пресных водоемах кремнезем поглощается из воды диатомеями, створки которых после отмирания поступают в осадок. Наиболее благоприятными условиями для биогенного кремненакопления являлись периоды максимально высокого уровня вод в пресноводных бассейнах. В условиях мучкапского межледникового в среднеглубоких водоемах типа Польнолапинского озера наибольшая обводненность наблюдалась в климатические стадии, предшествовавшие глазовскому термическому оптимуму. В разрезе Тамбов вскрыты отложения глубокого озера, которое оставалось таковым практически в течение всего межледникового. Среднеглубокие и глубокие олиготрофные, олиготрофно-мезотрофные или мезотрофные озера были благоприятными для биогенного кремненакопления. Для них характерна слабощелочная среда, прозрачные, низкотемпературные, насыщенные кислородом воды. Анализ соотношения групп диатомей по местообитанию и систематическому составу показывают, что в подобных водоемах формировались кремнистые толщи, представленные диатомитами и диатомитовыми мергелями, которые слагаются в основном центральными видами планктонных форм [15].

Карбонатонакопление по своей интенсивности незначительно превышает биогенное кремненакопление (см. рис. 6). Основным источником карбоната кальция являются грунтовые и поверхностные воды. Недосыщенность водной среды растворенной кремнекислотой определяет только биогенный процесс накопления кремнезема, в то время как для карбоната кальция были открыты оба способа осаждения – и биогенный (обилие в осадках раковин моллюсков, остракод, растительных остатков) и хемогенный.

Наблюдающееся понижение содержания кремнезема на диаграмме химического состава (см. рис. 5) может объясняться тем, что он связывается процветающими в это время диатомеями. Это подтверждается наибольшим по разрезу количеством створок диатомей на 1 г осадка – до 50 тысяч, максимальную до 87,5 тысяч [19].

В озерных осадках мучкапского времени остатки диатомовых водорослей входят в состав породообразующих организмов, они составляют толщи диатомитов и диатомитовых мергелей мощностью до 20-30 м. Мощности озерных осадков свидетельствуют о высокой скорости осадконакопления: по-

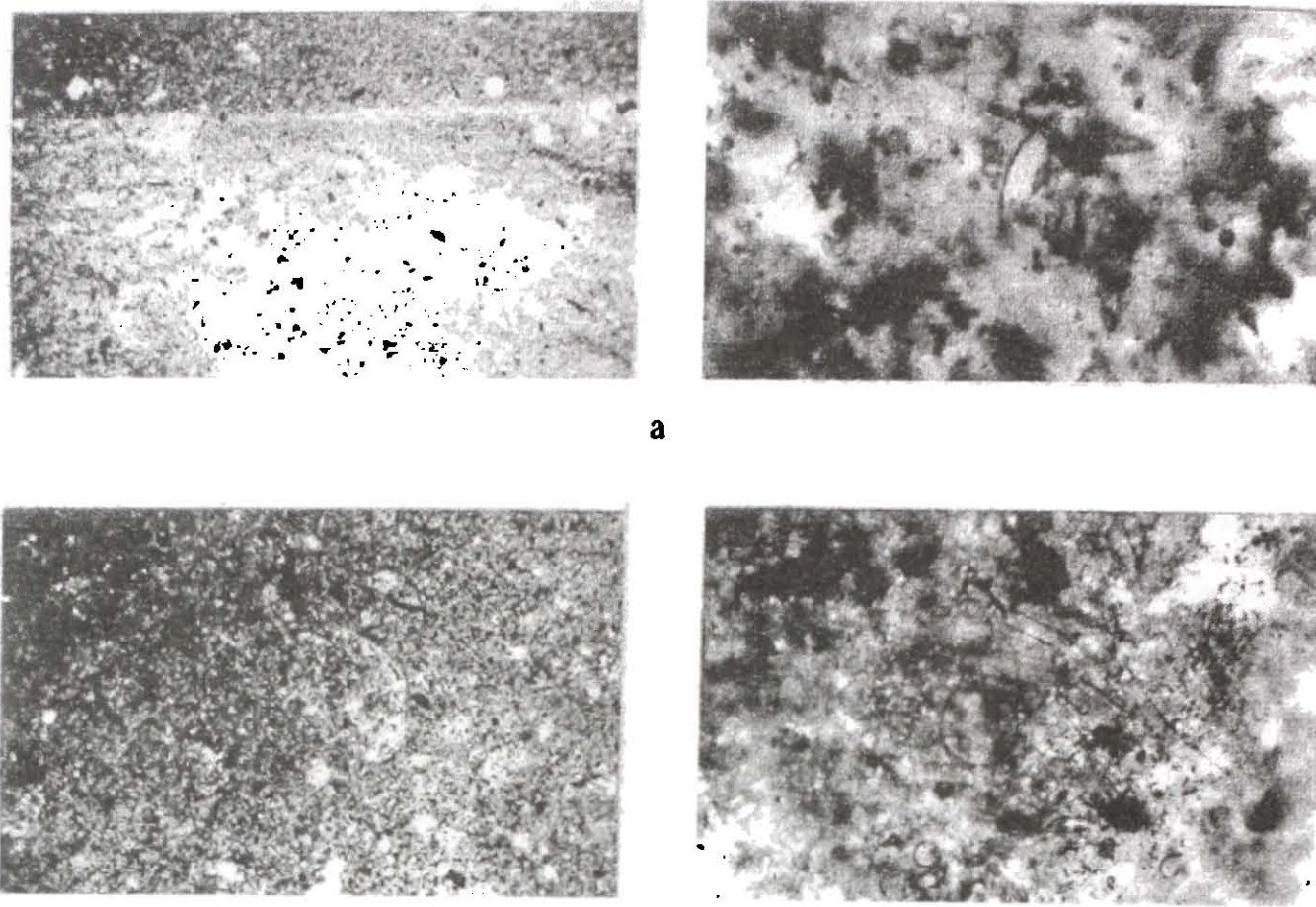


Рис. 7. Микрофотографии карбонатных пород, вскрытых скважиной 105: николи //, увеличение в левом ряду - 180, в правом - 400; а - мергель слоя 10, б - диатомит слоя 11.

высокой продуктивности диатомовых водорослей в озерах средних широт. Развитие карбонато- и кремненакопления происходило в условиях теплого гумидного климата межледниковых, в широком интервале среднегодовых температур в среднеглубоких и глубоких, пресных, слабо проточных озерах. Продолжительность накопления данного типа осадков зависела в основном от глубины и емкости озерных котловин, то есть от тех параметров, которые в значительной мере определяли баланс терригенного и карбонатного осадконакопления. На водохранилищах в это время повсеместно распространялись лесные ландшафты. Облесенность территории в условиях моренного рельефа являлась благоприятным фактором для накопления карбонатных и кремнеземистых осадков в водоемах, поскольку это ограничивало поступление терригенно-го материала в водоемы.

## ЛИТЕРАТУРА

- Грищенко М.Н. Плейстоцен и голоцен бассейна Верхнего Дона. – М., 1976. – 228с.
- Маудина М.И., Еремин А.В. Новые данные об озерных отложениях Тамбовского рва // Пограничные горизонты неогена и антропогена территории КМА и Верхнего Дона. – Воронеж, 1982. – С. 80-89.
- Шик С.М., Маудина М.И. Рославльские межледниковые озерные отложения Окско-Донской равнины // Проблемы антропогена центральных районов Русской платформы. – Воронеж, 1979. – С. 42-58.
- Марков К.К., Величко А.А., Лазуков Г.И., Николаев В.А. Плейстоцен. – М., 1968. – 303 с.
- Валусса М.Н., Дорофеев П.И., Иосифова Ю.И. и др. Польнолапинское межледниковое озеро – уникальный объект нижнего плейстоцена Дона // Бюлл. КИЧП. – №54. -М., 1985. -С. 40-65.
- Холмовой Г.В. О гляциоморфологической схеме западной части Донского языка днепровского оледенения // Матер. Всесоюзн. совещ. Краевые образования материковых оледенений. – Киев, 1978. -С. 169-177.
- Красненков Р.В. и др. Опорные разрезы нижнего плейстоцена бассейна Верхнего Дона. – Воронеж, 1984. -212 с.
- Глушков Б.В., Холмовой Г.В. Физические методы в региональной стратиграфии неоплейстоцена // Тр. НИИ геологии Воронеж. ун-та. – Вып. 11. – Воронеж, 2002. -С. 88-93.
- Глушков Б.В., Холмовой Г.В. Неоплейстоценовые мергели как известковое сырье для центральной части Тамбовской области // Вести. Воронеж. ун-та. Сер. геологическая. – Воронеж, 2001. – Вып. 12. – С. 218-219.
- Холмовой Г.В., Анциферова Г.А., Глушков Б.В. Новые данные о древнеозерных отложениях у деревни Польное Лапино Тамбовской области. – М., 1982. Деп. ВИНИТИ. -№ 4734-82. – 65 с.
- Холмовой Г.В., Анциферова Г.А., Валуева М.Н. и др. Польное Лапино // Опорные разрезы нижнего плейстоцена бассейна Верхнего Дона. – Воронеж, 1984. – С. 116-138.
- Еремин А.В. О стратиграфии нижнего и среднего плейстоцена центральных областей РСФСР // Структура и динамика Среднерусских ландшафтов. – Тамбов, 1985. – С. 102-112.

13. Маудина М.И. Погребенное озеро одинцовского века в районе г. Мишуринска // Бюл. Комис. по изуч. четверт. периода. – 1968. – № 35. – С. 173-179.
14. Стародубцева Н.В. Мужкапские межледниковые озерные отложения бассейна Верхнего Дона // Тр. НИИ геологии Воронеж. ун-та. – Вып. 11. – Воронеж, 2002. – С. 99-103.
15. Анциферова Г.А. Эволюция диатомовой флоры и межледникового озерного осадконакопления центра Восточно-Европейской равнины в неоплейстоцене // Тр. НИИ геологии Воронеж. ун-та. – № 2. – Воронеж, 2000. – 198 с.
16. Анциферова Г.А. Палеогеэкология и эволюция озерных экосистем в неоплейстоцене ледниковых областей центра Восточно-Европейской равнины: Автoref. дис. ... докт. геол. наук. – СПб., 2002. – 46 с.
17. Казанский Ю.П., Казаринов В.П., Резанова И.М. Результаты экспериментов с насыщенными растворами кремнезема и их геологическое значение // Физические и химические процессы и фации. - М., 1969. – С. 77-80.
18. Хрусталев Ю.П. Особенности кремненакопления во внутриконтинентальных слабоминерализованных морях аридной зоны // Происхождение и практическое использование кремнистых пород. – М., 1987. – С. 141-152.
19. Анциферова Г.А. Палеэкология межледниковых водоемов и основные этапы развития диатомовой флоры в раннеплейстоценовое (мужкапское) время // Вестн. Воронеж. ун-та. Сер. геологическая. – Воронеж. 1999. – № 7. – С. 97-106.

УДК 550.42:551.7:551.8(470.323)

## ЛИТОЛОГИЧЕСКИЕ И ГЕОХИМИЧЕСКИЕ ОСОБЕННОСТИ ПЕСЧАНЫХ ТОЛЩ КАК ОСНОВА ИХ КОРРЕЛЯЦИИ (НА ПРИМЕРЕ АЛЬБА И СЕНОМАНА ВОРОНЕЖСКОЙ АНТЕКЛИЗЫ)

**В.И. Сиротин, В.А. Шатров, С.А. Коваль, Ю.Ю. Бугельский\*, Г.В. Войцеховский,  
А.С. Никульшин\*\*, В.С. Серегина**

*Воронежский государственный университет*

*Институт геологии рудных месторождений, петрографии, минералогии и  
геохимии РАН, г. Москва*

*\*\*Московский государственный университет*

Предлагается комплексная методика расчленения монотонных песчаных отложений на основе сопоставления их структурно-текстурных признаков и распределения редкоземельных, малых и петrogenенных элементов в составляющих пачках и конкрециях глауконитов и фосфоритов. В качестве объекта исследования взяты опорные разрезы альбского и сеноманского ярусов Воронежской антеклизы.

### Цели работы

Обломочные породы занимают в осадочной оболочке Земли второе место после глин и глинистых сланцев. На их долю приходится около 22% осадочных пород по распространности [1-3]. Анализ условий образования и стратиграфическое расчленение песчаных толщ, лишенных фаунистических остатков, является одной из задач литологии, для решения которой применяется широкий спектр методов. Альбские и сеноманские отложения в пределах Воронежской антеклизы [4,5] представлены преимущественно песчаными толщами. Предлагается комплексирование литологических и геохимических методов для целей палеогеографии и корреляции геологических разрезов, представленных монотонными песчаными толщами. Ранее проведенное изучение поведения редкоземельных элементов (REE) в глинистых породах девона и мела, а также метапелитах раннего протерозоя выявило связь их

содержания и распределения с фациальной принадлежностью [6,7]. Одновременно было проведено изучение редкоземельных элементов в микроконкрециях (глауконитах) и макроконкрециях (фосфоритах) из песчаных отложениях альба и сеномана в пределах Воронежской антеклизы. Конкремции являются надежными индикаторами геохимических условий осадкообразования и диагенеза и широко используются при проведении стадиального анализа [8]. Кроме того, установлено, что конкреции являются и индикаторами проницаемости земной коры для глубинных флюидных растворов на стадиях седimentации и диагенеза.

В осуществление предложенного комплексирования в пределах Воронежской антеклизы были детально изучены опорные разрезы альба и сеномана, приуроченные к разным по проницаемости тектоническим структурам фундамента - Ливенско-Богучарской шовной зоне и «жесткому» Курскому блоку. Выбор участков обусловлен доступностью